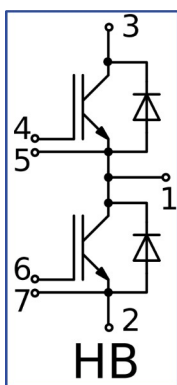
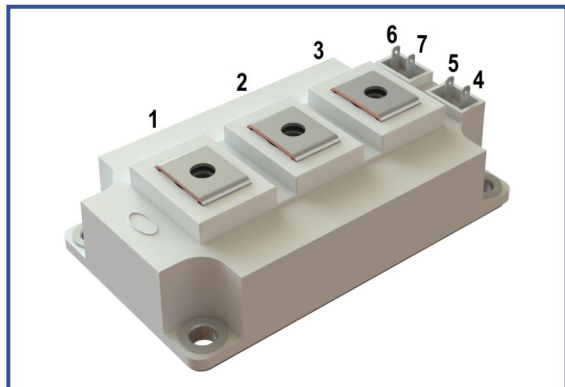


IGBT модуль в стандартном корпусе 62мм
1700 В 300 А


Особенности чипов

- IGBT чип
 - низкое значение $U_{CE(sat)}$
 - длительность КЗ 10 мкс при 150°C
 - квадратная область RBSOA при 2xIc
 - низкое ЭМИ
- FRD чип
 - быстрое и мягкое восстановление
 - низкое падение напряжения

Особенности конструкции

- медное основание
- Al₂O₃ DBC подложки
- ультразвуковая приварка силовых выводов
- улучшенная стойкость к термоциклам
- соответствие RoHS

Типовые применения

- приводы двигателей переменного тока
- преобразователи на основе солнечных батарей
- системы кондиционирования воздуха
- преобразователи высокой мощности и ИБП

Предельно допустимые значения параметров

Параметр	Обозн.	Условия	Знач.	Ед.
IGBT				
Напряжение коллектор-эмиттер	U_{CES}	$U_{GE} = 0$.	1700	В
Максимально допустимый постоянный ток коллектора	$I_{C 25}$	$T_{vj (max)} = 175^{\circ}C; T_c = 25^{\circ}C$.	467	А
	$I_{C 80}$	$T_{vj (max)} = 175^{\circ}C; T_c = 80^{\circ}C$.	300	А
Максимальный повторяющийся импульсный ток коллектора ^{*1}	I_{CRM}	$I_{CRM} = 3 \times I_{C nom}; t_p = 1 \text{ мс}$.	900	А
Длительность импульсного тока короткого замыкания	t_{psc}	$T_{vj} = 25^{\circ}C; U_{GE} = \pm 15 \text{ В}; U_{CE} = 1000 \text{ В}; R_{G on} = R_{G off} = 2.2 \text{ Ом}; I_{Cmax} < 1700 \text{ А}$.	10	мкс
		$T_{vj} = 150^{\circ}C; U_{GE} = \pm 15 \text{ В}; U_{CE} = 1000 \text{ В}; R_{G on} = R_{G off} = 2.2 \text{ Ом}; I_{Cmax} < 1400 \text{ А}$.	10	
Напряжение затвор-эмиттер	U_{GES}		± 20	В
Рабочая температура перехода	$T_{vj (op)}$		-40...+150	°C
Диод чоппера\Обратно-параллельный диод.				
Повторяющееся импульсное обратное напряжение	U_{RRM}	$U_{GE} = 0 \text{ В}$.	1700	В
Максимально допустимый постоянный прямой ток	$I_{F 25}$	$T_{vj (max)} = 175^{\circ}C; T_c = 25^{\circ}C$.	393	А
	$I_{F 80}$	$T_{vj (max)} = 175^{\circ}C; T_c = 80^{\circ}C$.	297	А
Повторяющийся прямой импульсный ток ^{*1}	I_{FRM}	$I_{FRM} = 3 \times I_{F nom}; t_p = 1 \text{ мс}$.	900	А
Рабочая температура перехода	$T_{vj (op)}$		-40...+150	°C
Модуль				
Температура хранения	T_{stg}		-55...+50	°C
Напряжение пробоя изоляции	U_{isol}	AC sin 50 Гц; t = 1 мин.	4000	В

*1 Длительность импульса и частота повторения должна быть такой, чтобы температура перехода не превышала $T_{vj max}$.

Характеристики

Параметр	Обозн.	Условия	Знач.			Ед.	
			мин.	тип.	макс.		
IGBT							
Напряжение насыщения коллектор-эмиттер	U_{CEsat}	$U_{GE} = +15\text{ В}; I_C = 300\text{ А}; t_u = 1000\text{ мкс.}$	$T_{vj} = 25^\circ\text{C}$	-	1.73	-	В
			$T_{vj} = 150^\circ\text{C}$	-	2.37	-	В
Пороговое напряжение затвор-эмиттер	$U_{GE(th)}$	$I_C = 12\text{ мА}; U_{CE} = U_{GE}; T_{vj} = 25^\circ\text{C}; t_u = 2\text{ мс.}$	-	5.90	-	В	
Ток утечки коллектор-эмиттер	I_{CES}	$U_{CE} = 1700\text{ В}; t_u = 50\text{ мс}; U_{GE} = 0.$	$T_{vj} = 25^\circ\text{C}$	-	11.50	-	мкА
			$T_{vj} = 150^\circ\text{C}$	-	0.60	-	мА
Ток утечки затвор-эмиттер	I_{GES}	$U_{CE} = 0; U_{GE} = \pm 20\text{ В}; T_{vj} = 25^\circ\text{C}; t_u = 30\text{ мс.}$	-	10.00	-	нА	
Входная ёмкость	C_{ies}	$U_{CE} = 25\text{ В}; U_{GE} = 0\text{ В}; f = 1\text{ МГц}; T_{vj} = 25^\circ\text{C}.$	-	116.40	-	нФ	
Выходная ёмкость	C_{oes}		-	4.88	-		
Обратная передаточная ёмкость	C_{res}		-	0.72	-		
Заряд затвора	Q_G	$I_C = 300\text{ А}; U_{CE} = 920\text{ В}; U_{GE} = -15...+15\text{ В.}$	-	1850	-	нКл	
Встроенный резистор затвора	R_{Gint}	$T_{vj} = 25^\circ\text{C}.$	-	6.24	-	Ом	
Время задержки включения	$t_{d(on)}$	$U_{CE} = 920\text{ В}; U_{GE} = \pm 15\text{ В}; I_{Cmax} = 300\text{ А}; R_G = 2.2\text{ Ом}; L_s = 56\text{ нГн.}$	$T_{vj} = 25^\circ\text{C}$	-	310	-	нс
			$T_{vj} = 150^\circ\text{C}$	-	340	-	
Время нарастания тока коллектора	t_{ri}		$T_{vj} = 25^\circ\text{C}$	-	68	-	нс
			$T_{vj} = 150^\circ\text{C}$	-	82	-	
Энергия потерь при включении	E_{on}		$T_{vj} = 25^\circ\text{C}$	-	68	-	мДж
			$T_{vj} = 150^\circ\text{C}$	-	107	-	
Время задержки выключения	$t_{d(off)}$		$T_{vj} = 25^\circ\text{C}$	-	552	-	нс
			$T_{vj} = 150^\circ\text{C}$	-	626	-	
Время спада тока коллектора	t_{fi}		$T_{vj} = 25^\circ\text{C}$	-	620	-	нс
			$T_{vj} = 150^\circ\text{C}$	-	860	-	
Энергия потерь при выключении	E_{off}	$T_{vj} = 25^\circ\text{C}$	-	85	-	мДж	
		$T_{vj} = 150^\circ\text{C}$	-	112	-		
Пороговое напряжение коллектор-эмиттер	U_{CE0}	$U_{GE} = +15\text{ В}; T_{vj} = 150^\circ\text{C}; I_{CE1} = 75\text{ А}; I_{CE2} = 300\text{ А}; t_u = 1000\text{ мкс.}$	-	1.15	-	В	
Динамическое сопротивление	r_{CE0}		-	5.47	-	МОм	
Тепловое сопротивление переход-корпус	$R_{th(j-c)}$	$DC; I_{CE} = 220 \pm 10\text{ А}; I_{test} = 1.0\text{ А}; U_{GE} = +15\text{ В.}$	-	0.0865	-	К/Вт	
Диод чоппера/Обратно-параллельный диод.							
Постоянное прямое напряжение	U_F	$I_F = 300\text{ А}; U_{GE} = 0; t_u = 1000\text{ мкс.}$	$T_{vj} = 25^\circ\text{C}$	-	1.85	-	В
			$T_{vj} = 150^\circ\text{C}$	-	1.91	-	В
Время обратного восстановления	t_{rr}	$U_{GE} = \pm 15\text{ В}; U_{CE} = 920\text{ В}; I_{Cmax} = 300\text{ А}; R_{Gon} = 2.2\text{ Ом}; L_s = 56\text{ нГн.}$	$T_{vj} = 25^\circ\text{C}$	-	320	-	нс
			$T_{vj} = 150^\circ\text{C}$	-	532	-	нс
Импульсный обратный ток	I_{RM}	$T_{vj} = 25^\circ\text{C}$	-	374	-	А	
		$T_{vj} = 150^\circ\text{C}$	-	532	-	А	
Заряд восстановления	Q_r	$T_{vj} = 25^\circ\text{C}$	-	66	-	мкКл	
		$T_{vj} = 150^\circ\text{C}$	-	105	-	мкКл	
Энергия потерь при обратном восстановлении	E_{rec}	$T_{vj} = 25^\circ\text{C}$	-	46	-	мДж	
		$T_{vj} = 150^\circ\text{C}$	-	80	-	мДж	
Пороговое напряжение	$U_{(T0)}$	$T_{vj} = 150^\circ\text{C}; U_{GE} = 0; I_{F1} = 75\text{ А}; I_{F2} = 300\text{ А}; t_u = 1000\text{ мкс}$	-	0.803	-	В	
Динамическое сопротивление	r_T		-	3.90	-	МОм	
Тепловое сопротивление переход-корпус	$R_{th(jc-D)}$	$DC; I_{CE} = 200 \pm 10\text{ А}; I_{test} = 1.0\text{ А}; U_{GE} = +15\text{ В.}$	-	0.1630	-	К/Вт	

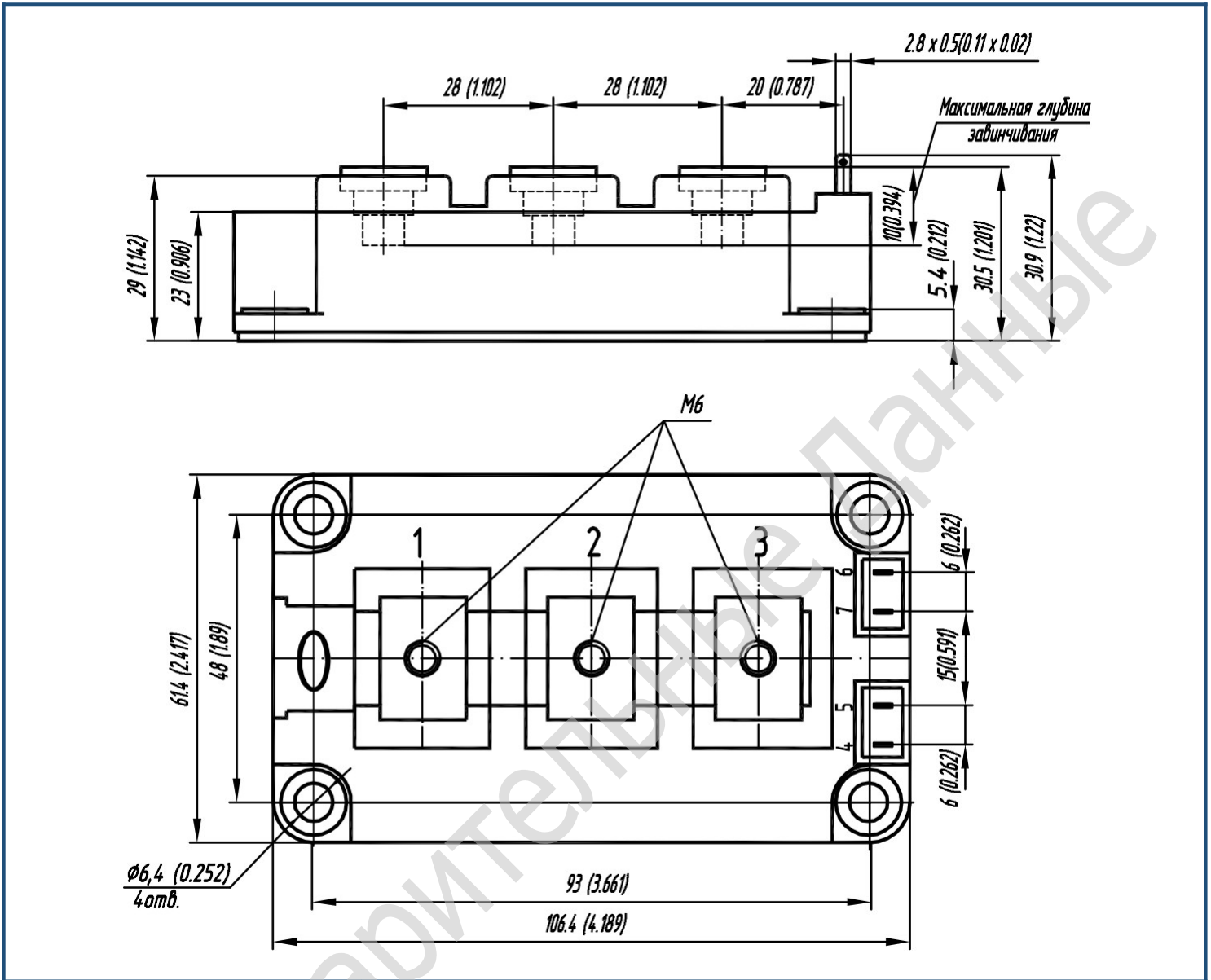
Модуль							
Сопротивление выводов	R_{Pxy}	$T_{vj} = 25^{\circ}C.$	R_{P12}	-	0.28	0.50	МОм
			R_{P13}	-	0.38	0.50	
Паразитная индуктивность модуля между силовыми выводами	L_{Pce}			-	22	-	нГн
Тепловое сопротивление корпус-охладитель	R_{thCH}	для модуля		-	0.02	0.04	К/Вт
Момент затягивания винтов корпуса	M_s	к охладителю М6		3.00	-	5.00	Н*м
Момент затягивания на силовых выводах	M_t	к клеммам М6		2.25	2.50	2.75	Н*м
Вес	W			-	318	340	г

“ - ” — данные будут уточняться по мере набора статистики и проведения дополнительных испытаний.

Примечания:

- Рабочая температура корпуса и изоляционных материалов не должна превышать $T_c = 125^{\circ}C$ макс;
- Рекомендуемая рабочая температура кристалла $T_{vj (op)} = -40...+150^{\circ}C$.

Габаритные размеры: тип корпуса – АА


Руководство по маркировке

MIAA	-	HB	17	SM	-	300	N	
MIAA								Тип корпуса IGBT модуля: АА
		HB						2 ключа в схеме полумост
			17					Номинальное напряжение ($U_{CES}/100$)
				SM				IGBT+FRD модификация чипсета
						300		Средний ток
							N	Климатическое исполнение: умеренный климат

Информация, содержащаяся в данном документе, защищена авторским правом. В интересах улучшения качества продукта АО «Протон-Электротекс» оставляет за собой право вносить изменения в информационные листы без предварительного уведомления.